

1.3 Das Standardmodell der Teilchenphysik: Die fundamentalen Wechselwirkungen und ihre Vereinheitlichung

Lokale Eichfeldtheorien (Yang-Mills-Theorien; Yang und Mills 1954) erlauben eine einheitliche Beschreibung aller bekannten Wechselwirkungen der fundamentalen Materiebausteine (Leptonen und Quarks) basierend auf einem Symmetrieprinzip.

Die Eichsymmetriegruppen legen die Eigenschaften der Wechselwirkungen vollständig fest. Die elementaren Fermionen (Spin $\frac{1}{2}$) besetzen die Multipletts der fundamentalen Darstellungen der Eichsymmetrien.

Die Generatoren der Eichsymmetriegruppen (Lie-Gruppen) sind die verallgemeinerten Ladungsoperatoren der Wechselwirkungen (hermitesch). Die Wechselwirkung wird vermittelt durch den Austausch von Vektorbosonen (Spin 1), den Eichfeldquanten.

Die elektromagnetische, die schwache und die starke Wechselwirkung lassen sich durch die einfachsten speziellen unitären Symmetriegruppen beschreiben:

Wechselwirkung	El. magn.	Schwach	Stark
Eichsymmetrie	$U(1)$	$SU(2)$	$SU(3)$
Theorie	QED	GSW	QCD
Ladungen	elektrische Ladung	3 schwache Ladungen	8 Farbladungen
Eichbosonen	Photon	W^\pm, Z^0	8 Gluonen

Die Zahl der unabhängigen Parameter und damit der Generatoren (verallgemeinerte Ladungen) der Gruppe $SU(N)$ ist $N^2 - 1$ (Ordnung der Gruppe).

Die Dimension der fundamentalen Darstellung ist $N =$ Zahl der inneren Freiheitsgrade der Teilchenzustände.

Die Eichsymmetriegruppe des Standardmodells ist das Produkt der Lie-Gruppen

$$U(1) \otimes SU(2) \otimes SU(3)$$

Die freien Fermionenzustände des Standardmodells sind daher ($f = e, \mu, \tau, \nu_e, \nu_\mu, \nu_\tau, u, d, s, c, b, t$):

. Teilchen :

$$\psi_f^+(x; E > 0) = u(p)e^{-ip_\mu x^\mu} \times e^{iQ_f \alpha} \times \begin{pmatrix} u \\ d \end{pmatrix}_L \times \begin{pmatrix} r \\ g \\ b \end{pmatrix}_q$$

. Antiteilchen :

$$\psi_f^-(x; E < 0) = v(p)e^{ip_\mu \cdot x^\mu} \times e^{-iQ_f \alpha} \times \begin{pmatrix} u \\ d \end{pmatrix}_R \times \begin{pmatrix} \bar{r} \\ \bar{g} \\ \bar{b} \end{pmatrix}_{\bar{q}}$$

Vorbild für die moderne Beschreibung der Teilchenphysik durch Eichtheorien ist die Quantenelektrodynamik.

1.3.1 Die Quantenelektrodynamik (QED)

Eichfeldtheorie mit der Symmetriegruppe $U(1)$ (elektrische Ladung).

Eichfeld (Photonfeld): 4-Vektorpotential $A_\mu(x)$.

Eichboson (Photon): Spin 1, masselos aufgrund der Eichsymmetrie.

Lagrangedichte für Kopplung an elementare Fermionen ($f = e, \mu, \tau, u, d, s, c, b, t$):

$$\begin{aligned}\mathcal{L}_{QED} &= -\frac{1}{4}F_{\mu\nu}F^{\mu\nu} + \sum_f \bar{\psi}_f(i\gamma^\mu D_\mu - m_f)\psi_f \\ &= -\frac{1}{4}F_{\mu\nu}F^{\mu\nu} + \sum_f \bar{\psi}_f(i\gamma^\mu \partial_\mu - m_f)\psi_f \\ &\quad - e \left(\sum_f Q_f \bar{\psi}_f \gamma^\mu \psi_f \right) A_\mu \\ &= \mathcal{L}_{\text{frei}} + \mathcal{L}_{WW}\end{aligned}$$

mit der kovarianten Ableitung

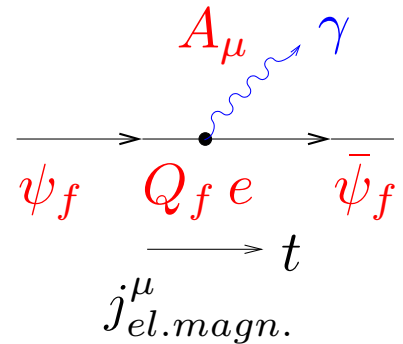
$$D_\mu = \partial_\mu + ieQ_f A_\mu(x)$$

und dem Feldtensor

$$F_{\mu\nu}(x) = \partial_\nu A_\mu(x) - \partial_\mu A_\nu(x).$$

Strom-Eichfeld-Kopplung:

$$\mathcal{L}_{WW} = -e j_{\text{el.magn.}}^\mu A_\mu$$



mit dem elektromagnetischen Strom

$$j_{\text{el.magn.}}^\mu = \sum_f Q_f \bar{\psi}_f \gamma^\mu \psi_f.$$

Die Kopplungsstärke ist gegeben durch die Elementarladung e .

Q_f ist Eigenwert des Ladungsoperators (Generator der $U(1)$ -Eichsymmetriegruppe).

Lokale $U(1)$ -Eichtransformationen:

$$\begin{aligned} \psi_f(x) &\longrightarrow e^{iQ_f\alpha(x)}\psi_f(x) \\ \bar{\psi}_f(x) &\longrightarrow e^{-iQ_f\alpha(x)}\bar{\psi}_f(x) \\ A_\mu(x) &\longrightarrow A_\mu(x) - \frac{1}{e}\partial_\mu\alpha(x) \\ D_\mu\psi_f(x) &\longrightarrow e^{iQ_f\alpha(x)}D_\mu\psi_f(x). \end{aligned}$$

d.h. $\bar{\psi}_f\gamma_\mu\psi_f$ und $\bar{\psi}_f D_\mu\psi_f$ sind invariant.

Globale U(1)-Eichsymmetrie \implies Erhaltung der elektrischen Ladung (Noether-Theorem):

Kontinuitätsgleichung:

$$\partial_\mu j_{el.magn.}^\mu = \frac{\partial \rho}{\partial t} + \vec{\nabla} \cdot \vec{j} = 0.$$

$$\implies \frac{dQ}{dt} = \int d^3x \frac{\partial \rho}{\partial t} = - \int d^3x \vec{\nabla} \cdot \vec{j} = - \oint d\vec{\sigma} \cdot \vec{j} = 0.$$

Die Eichinvarianz verlangt $m_\gamma = 0$.

Experimentell:

$m_\gamma < 4.5 \cdot 10^{-16}$ eV aus der Vermessung des Magnetfelds des Jupiter durch die Pioneer 10-Sonde und

$m_\gamma < 3 \cdot 10^{-27}$ eV aus der Vermessung des galaktischen Magnetfelds.

Die Eichwechselwirkungen müssen unendliche Reichweite besitzen!

Weitere Symmetrien der QED:

- Lorentzinvarianz + Invarianz unter Raum-Zeit-Translationen und räumlichen Rotationen (Homogenität und Isotropie der Raum-Zeit)

⇒ Energie-Impuls- und Drehimpulserhaltung (Noether-Theorem).

- Diskrete Symmetrien:

1. Lepton- und Quarkflavour-Erhaltung.
2. Parität P (Raumspiegelung): $\vec{x} \longrightarrow -\vec{x}$, $\vec{p} \longrightarrow -\vec{p}$.
3. Zeitinversion T: $t \longrightarrow -t$.
4. Ladungskonjugation C: $Q_f \longrightarrow -Q_f$.

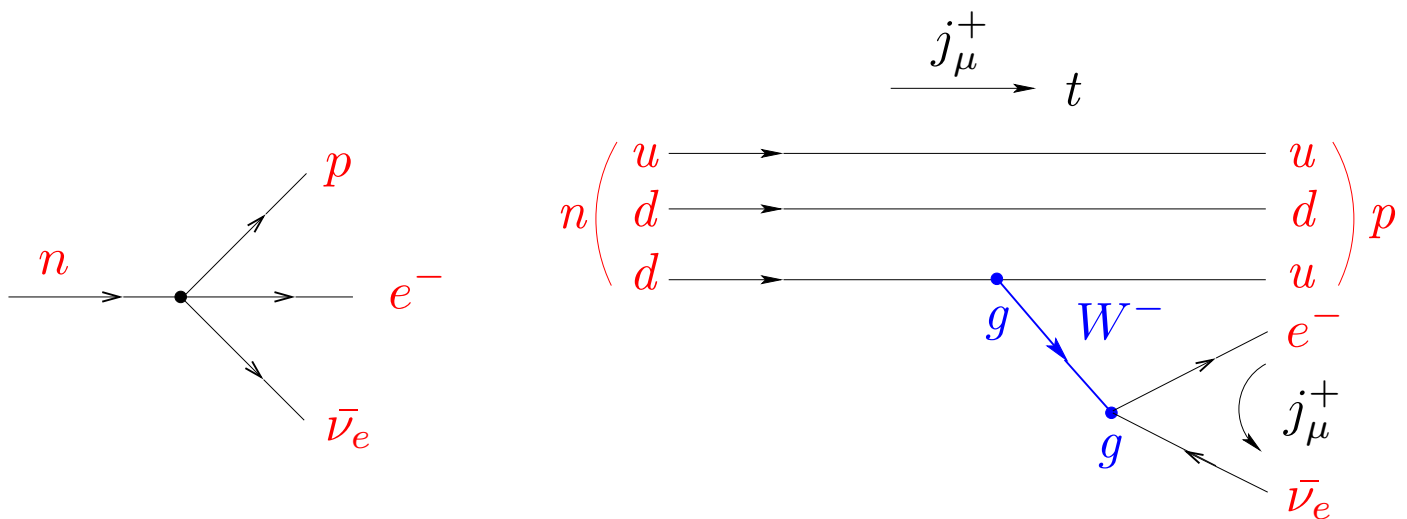
1.3.2 Die Schwache Wechselwirkung

Beschreibung in Analogie zur QED mit Kopplung schwacher Ströme an massive, elektrisch geladene Feldquanten W^\pm :

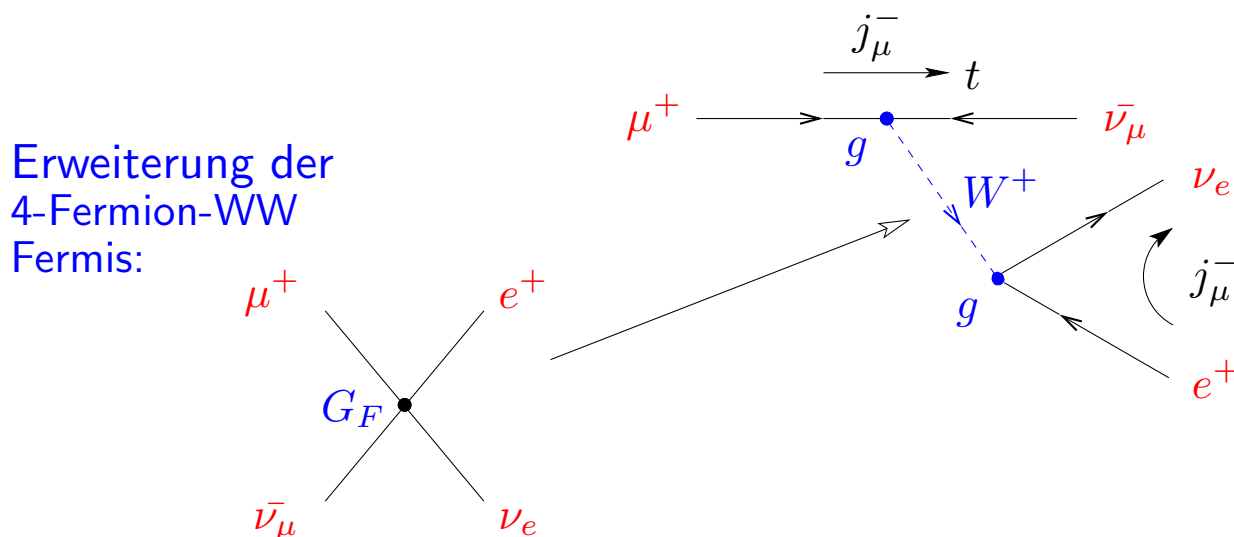
$$j^{\mu-} W_\mu^+ + j^{\mu+} W_\mu^-$$

Kurzreichweitige Wechselwirkung mit Änderung der Lepton- und Quark-Flavour.

Nuklearer β -Zerfall: $n \longrightarrow p e^- \bar{\nu}_e$



Myonzerfall: $\mu^+ \longrightarrow e^+ \nu_e \bar{\nu}_\mu$



Schwache Übergänge legen Paarung der elementaren Fermionen in Dubletts nahe, der fundamentalen Darstellung der SU(2)-Gruppe (in Analogie zu Spin und Isospin).

Linkshändige Zustände in SU(2)-Dubletts:

$$\begin{array}{ccccccc}
 & & & & Q_f & Y_f & I_f^0 \\
 L_\ell : & \begin{pmatrix} \nu_e \\ e^- \end{pmatrix}_L & \begin{pmatrix} \nu_\mu \\ \mu^- \end{pmatrix}_L & \begin{pmatrix} \nu_\tau \\ \tau^- \end{pmatrix}_L & 0 & -1 & +\frac{1}{2} \\
 & & & & -1 & -1 & -\frac{1}{2} \\
 \\
 L_q : & \begin{pmatrix} u \\ d' \end{pmatrix}_L & \begin{pmatrix} c \\ s' \end{pmatrix}_L & \begin{pmatrix} t \\ b' \end{pmatrix}_L & +\frac{2}{3} & +\frac{1}{3} & +\frac{1}{2} \\
 & & & & -\frac{1}{3} & +\frac{1}{3} & -\frac{1}{2}
 \end{array}$$

Rechtshändige Zustände in SU(2) – Singulets :

$$\begin{array}{cccccc}
 \nu_{eR} & \nu_{\mu R} & \nu_{\tau R} & 0 & 0 & 0 \\
 e_R^- & \mu_R^- & \tau_R^- & -1 & -2 & 0 \\
 u_R & c_R & t_R & +\frac{2}{3} & +\frac{4}{3} & 0 \\
 d_R & s_R & b_R & -\frac{1}{3} & -\frac{2}{3} & 0
 \end{array}$$

Es gilt die Beziehung der Ladungen

$$Q = I^0 + Y/2$$

Die schwache Wechselwirkung bewirkt flavour-ändernde Übergänge innerhalb der Fermion-Dubletts L_ℓ (Leptonen) und L_q (Quarks).

Nur linkshändige Fermionen ψ_L bzw. rechtshändige Anti-Fermionen $\bar{\psi}_R$ nehmen an der schwachen WW teil.

\iff beobachtete maximale Paritätsverletzung durch die schwache WW ($V - A$ -Form der schwachen Ströme).

Paritätsverletzung in der schwachen Wechselwirkung:

- $K^+ \rightarrow \pi^+\pi^0$ und $K^+ \rightarrow \pi^+\pi^-\pi^+$ (Lee, Yang 1956).
- Elektronpolarisation im Kern- β -Zerfall (Wu 1957).

Projektion der Chiralitätszustände:

$$\psi_L = P_L\psi = \left(\frac{1 - \gamma_5}{2}\right)\psi$$

$$\psi_R = P_R\psi = \left(\frac{1 + \gamma_5}{2}\right)\psi$$

mit der Chiralität $\gamma_5 = \gamma_5^\dagger$:

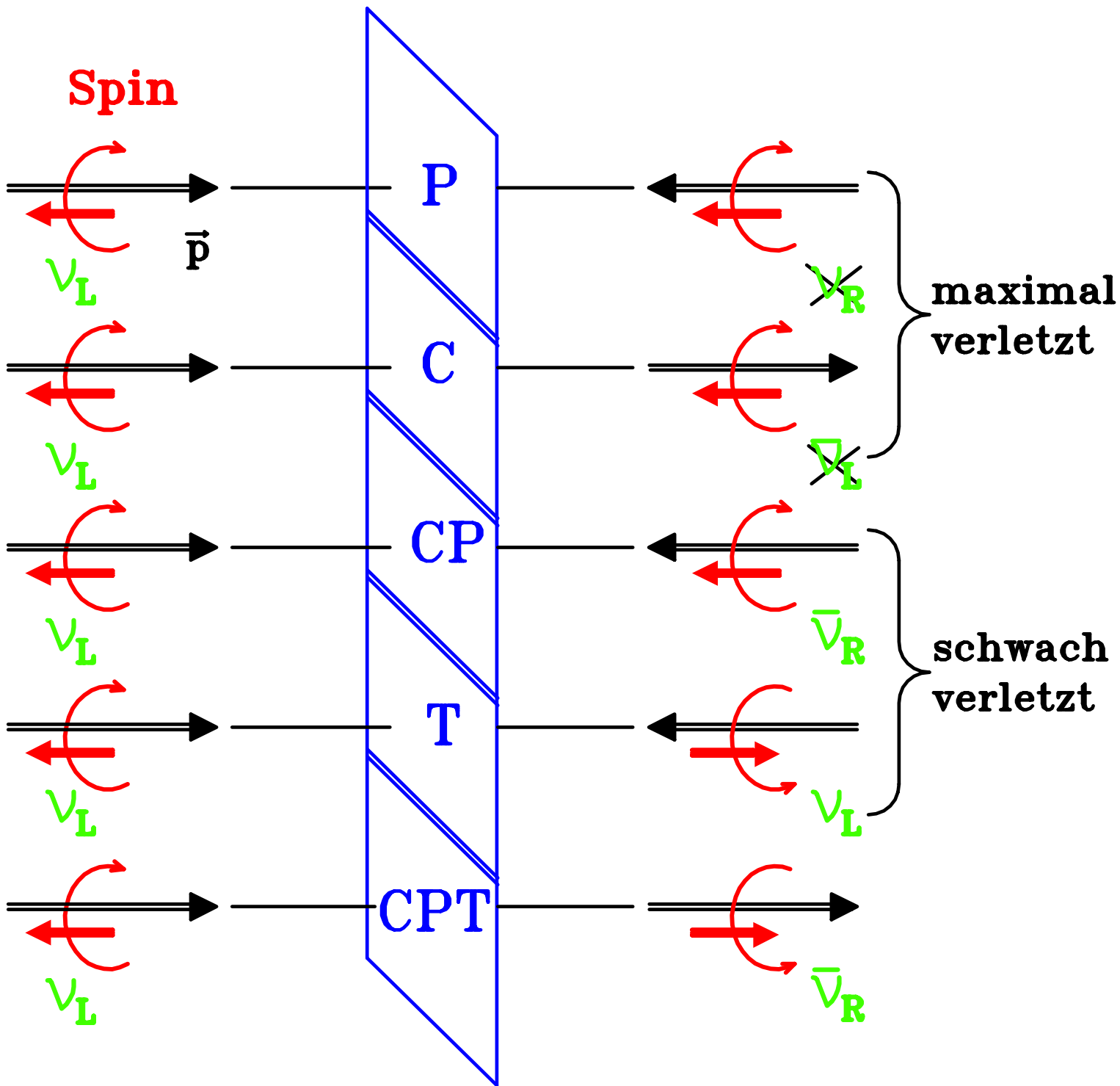
$$\gamma_5\psi_L = -\psi_L$$

$$\gamma_5\psi_R = \psi_R$$

Schwache Fermion-Ströme haben damit die Form:

$$\begin{aligned} j_{\text{schwach}}^\mu &= \underline{\bar{\psi}'_L \gamma^\mu \psi_L} \\ &= (P_L\psi')^\dagger \gamma^0 \gamma^\mu P_L\psi = \psi'^\dagger P_L \gamma^0 \gamma^\mu P_L\psi \\ &= \underline{\bar{\psi}' \gamma^\mu P_L\psi} = \underline{\frac{1}{2}\bar{\psi}' \gamma^\mu (1 - \gamma_5)\psi} \end{aligned}$$

d.h. Vektor (γ^μ)–Axialvektor ($\gamma^\mu\gamma_5$) oder $V - A$ Strom.



Lokale schwache Isospin-Eichsymmetrie $SU(2)_L$ zur

Beschreibung der schwachen Wechselwirkung:

$$SU(2)\text{-Dubletts (L): } L_f \longrightarrow e^{i\vec{I}\cdot\vec{\beta}(x)} L_f.$$

$$SU(2)\text{-Singulets (R): } \psi_R \longrightarrow \psi_R.$$

3 Parameter (z.B. Euler-Winkel), 3 Generatoren (Ladungen):

- Isospinvektor $\vec{I} = \begin{pmatrix} I_x \\ I_y \\ I_z \end{pmatrix}$
- Lie-Algebra: $[I_i, I_j] = i\varepsilon_{ijk}I_k$
mit Strukturkonstanten ε_{ijk} .
- Auf- und Absteigeoperatoren: $I^\pm = \frac{1}{2}(I_x \pm iI_y)$; $I^0 = I_z$.

Fundamentale $SU(2)$ -Darstellung (2-dimensional):

- Fermion-Dubletts mit $|\vec{I}| = \frac{1}{2}$, $I_z = \pm\frac{1}{2}$.
- $\vec{I} = \frac{\vec{\tau}}{2}$ mit Pauli'schen Spin-Matrizen τ_i ($i = 1, 2, 3$).
 $[\tau_i, \tau_j] = 2i\varepsilon_{ijk}\tau_k$, $\tau^\pm = \frac{1}{2}(\tau_1 \pm i\tau_2)$.

$$\tau^+ = \begin{pmatrix} 0 & 1 \\ 0 & 0 \end{pmatrix}; \tau^- = \begin{pmatrix} 0 & 0 \\ 1 & 0 \end{pmatrix}.$$

1.3.3 Die Elektroschwache Wechselwirkung (Glashow-Salam-Weinberg-Theorie)

Gemeinsamer Ansatz mit lokaler $SU(2)_L$ - und $U(1)_Y$ -Eichsymmetrie

(Glashow 1961, Salam 1968, Weinberg 1967).

Die elektromagnetische Wechselwirkung muß wegen der elektrisch geladenen schwachen Eichbosonen W^\pm miteingeschlossen werden.

Y ist die schwache Hyperladung mit $[I_i, Y] = 0$, $i = 1, \dots, 3$ (direktes Produkt der Symmetriegruppen).

Deshalb ist Y_f gleich für die beiden Mitglieder eines $SU(2)_L$ -Dubletts und $Q \neq Y$.

Die elektromagnetischen Ladungen in den Multipletts ergeben sich konsistent aus der Beziehung $Q = I_3 + Y/2$.

Damit entsteht eine vereinheitlichte Eichtheorie der schwachen und der elektromagnetischen Wechselwirkung, die aber noch zwei verschiedene Kopplungskonstanten g (schwacher Isospin) und g' (schwache Hyperladung) enthält:

$$\begin{aligned} \mathcal{L}_{SU(2) \times U(1)} = & -\frac{1}{4} f_{\mu\nu} f^{\mu\nu} - \frac{1}{4} F_{\mu\nu}^i F^{i\mu\nu} \\ & + \sum_f (\bar{\psi}_{fR} i \gamma^\mu D_{\mu R}) \psi_{fR} + \sum_L (\bar{L}_f i \gamma^\mu D_{\mu L}) L_f \end{aligned}$$

mit den linkshändigen $SU(2)$ -Dubletts L_f , den $SU(2)$ -Singulett ψ_f und den kovarianten Ableitungen:

$$\begin{aligned}
 D_{\mu L} &= \partial_\mu \cdot 1 + ig' \frac{Y_{fL}}{2} B_\mu(x) \cdot 1 + ig \vec{I} \cdot \vec{W}_\mu(x) \\
 &= \partial_\mu \cdot 1 + i \frac{g'}{2} Y_{fL} B_\mu(x) \cdot 1 + i \frac{g}{2} \vec{T} \cdot \vec{W}_\mu(x) \\
 D_{\mu R} &= \partial_\mu + ig' \frac{Y_{fR}}{2} B_\mu(x),
 \end{aligned}$$

\implies minimale eichinvariante Kopplung an 4 masselose Eichfelder für $U(1)_Y$ und $SU(2)_L$:

$$B_\mu(x) \text{ und } \vec{W}_\mu(x) = \begin{pmatrix} W_\mu^x(x) \\ W_\mu^y(x) \\ W_\mu^z(x) \end{pmatrix}$$

mit den Definitionen der Feldtensoren

$$\begin{aligned}
 f_{\mu\nu} &= \partial_\nu B_\mu(x) - \partial_\mu B_\nu(x) \\
 &\cdot \\
 F_{\mu\nu}^i &= \partial_\nu W_\mu^i(x) - \partial_\mu W_\nu^i(x) + g \varepsilon^{ijk} W_\mu^j(x) W_\nu^k(x).
 \end{aligned}$$

so daß die Form der Lagrangedichte für die freien Eichfelder wie für die QED ist (s.o.).

Alle Fermion-Massen = 0 wegen globaler $SU(2)_L$ -Invarianz:

Unterschiedliche Massen in den Fermion-Dubletts verletzen die $SU(2)$ -Symmetrie.

Ein Dirac-Massenterm

$$\bar{\psi}\psi = m\bar{\psi}(P_L^2 + P_R^2)\psi = m(\bar{\psi}_L\psi_R + \bar{\psi}_R\psi_L)$$

ist nicht invariant.

\implies Massen der elektroschwachen Eichbosonen (außer γ) und der Fermionen durch spontane Brechung der lokalen $SU(2)_L \otimes U(1)_Y$ -Eichsymmetrie (Higgs-Mechanismus, s.u.).

Lokale SU(2)-Eichtransformationen $U(x)$:

$$L \longrightarrow L' = U(x) \cdot L = e^{ig\frac{\vec{\tau}}{2}\vec{\beta}(x)} L$$

Damit die Lagrange-Dichte invariant bleibt, ist die die Transformation der kovarianten Ableitung nach Definition:

$$D'_\mu L' = (\partial_\mu + ig\frac{\vec{\tau}}{2} \cdot \vec{W}'_\mu) L' \equiv U(D_\mu L)$$

(d.h. $D'_\mu = U D_\mu U^{-1}$).

$$\begin{aligned} \implies U(\partial_\mu L) &+ \left(\partial_\mu U \right) L + ig\frac{\vec{\tau}}{2} \cdot \vec{W}'_\mu (U \cdot L) \\ &\equiv U(\partial_\mu L) + igU \left(\frac{\vec{\tau}}{2} \cdot \vec{W}_\mu \right) L \end{aligned}$$

$$\implies \frac{\vec{\tau}}{2} \cdot \vec{W}'_\mu (U \cdot L) = U \left(\frac{\vec{\tau}}{2} \cdot \vec{W}_\mu \right) L - \frac{1}{ig} (\partial_\mu U) L.$$

Damit ist die Eichtransformation der nicht-Abelschen Eichfelder definiert durch:

$$\vec{\tau} \cdot \vec{W}_\mu \longrightarrow \vec{\tau} \cdot \vec{W}'_\mu = U(\vec{\tau} \cdot \vec{W}_\mu)U^{-1} + \frac{2i}{g}(\partial_\mu U)U^{-1}$$

Für infinitesimale Eichtransformationen,

$$U(x) = 1 + ig \frac{\vec{\tau}}{2} \cdot \vec{\beta}(x),$$

gilt:

$$W_{\mu}^i(x) \longrightarrow W_{\mu}^{i'}(x) = W_{\mu}^i(x) - \frac{1}{g} \partial_{\mu} \beta^i(x) - \varepsilon^{ijk} \beta^j(x) W_{\mu}^k(x)$$

Für Abelsche $U(1)_Y$ -Eichtransformationen,

$$U_Y(x) = e^{i \frac{Y}{2} \alpha(x)},$$

gilt allgemein:

$$\begin{aligned} B_{\mu}(x) \longrightarrow B'_{\mu}(x) &= U_Y B_{\mu} U_Y^{-1} + \frac{2i}{g' Y} (\partial_{\mu} U_Y) U_Y^{-1} \\ &\equiv B_{\mu}(x) - \frac{1}{g'} \partial_{\mu} \alpha(x). \end{aligned}$$

Umformung der Lagrange-Funktion:

unter Benutzung von

$$\begin{aligned}\underline{\bar{\psi}\gamma^\mu\partial_\mu\psi} &= \bar{\psi}\gamma^\mu\partial_\mu(P_L^2 + P_R^2)\psi \\ &= \bar{\psi}P_R\gamma^\mu\partial_\mu P_L\psi + \bar{\psi}P_L\gamma^\mu\partial_\mu P_R\psi \\ &= \underline{\bar{\psi}_L\gamma^\mu\partial_\mu\psi_L + \bar{\psi}_R\gamma^\mu\partial_\mu\psi_R}\end{aligned}$$

mit $\gamma^\mu P_{L,R} = P_{R,L}\gamma^\mu$, $\bar{\psi} = \psi^\dagger\gamma^0$
und $\bar{\psi}_L = (P_L\psi)^\dagger\gamma^0 = \psi^\dagger P_L\gamma^0 = \bar{\psi}P_R$.

$$\begin{aligned}\cdot \quad \mathcal{L}_{SU(2)\times U(1)} &= \\ - \quad &\frac{1}{4}f_{\mu\nu}f^{\mu\nu} - \frac{1}{4}F_{\mu\nu}^i F^{i\mu\nu} + \sum_f \bar{\psi}_f (i\gamma^\mu\partial_\mu)\psi_f \\ - \quad &g' \sum_f \left(\bar{\psi}_f \gamma^\mu \frac{Y_f}{2} \psi_f \right) B_\mu - g \sum_L \left(\bar{L}_f \gamma^\mu \frac{\vec{T}}{2} \cdot L_f \right) \vec{W}_\mu \\ = \quad &\mathcal{L}_{\text{frei}} + \mathcal{L}_{\text{WW}}.\end{aligned}$$

$$\begin{aligned}\mathcal{L}_{\text{WW}} &= -g' j_Y^\mu B_\mu - g \vec{j}_I^\mu \cdot \vec{W}_\mu \\ &= -g' j_Y^\mu B_\mu - g j_I^{\mu 0} W_\mu^0 - \frac{g}{\sqrt{2}} (j_I^{\mu -} W_\mu^+ + j_I^{\mu +} W_\mu^-) \\ &= \mathcal{L}_{\text{NC}} + \mathcal{L}_{\text{CC}}\end{aligned}$$

mit dem flavour-ändernden geladenen schwachen Strom (CC):

$$j_I^{\mu\pm} = \sum_L \bar{L}_f \gamma^\mu \tau^\pm L_f = j_I^{\mu 1} \pm i j_I^{\mu 2}$$

und den geladenen schwachen Eichbosonen (siehe β -Zerfälle):

$$W_\mu^\pm = \frac{1}{\sqrt{2}} (W_\mu^1 \pm i W_\mu^2)$$

Denn es gilt:

$$\begin{aligned} & \cdot (j_I^{\mu-} W_\mu^+ + j_I^{\mu+} W_\mu^-) = \\ & = (j_I^{\mu 1} - i j_I^{\mu 2}) \frac{1}{\sqrt{2}} (W_\mu^1 + i W_\mu^2) + (j_I^{\mu 1} + i j_I^{\mu 2}) \frac{1}{\sqrt{2}} (W_\mu^1 - i W_\mu^2) \\ & = \sqrt{2} (j_I^{\mu 1} W_\mu^1 + j_I^{\mu 2} W_\mu^2). \end{aligned}$$

Die flavour-erhaltenden neutralen elektroschwachen Ströme j_Y^μ und $j_I^{\mu 0}$ koppeln an die neutralen Eichbosonfelder $B_\mu(x)$ und W_μ^0 .

Fragen:

Wie läßt sich der elektromagnetische Strom der QED identifizieren?

Gibt es einen neutralen schwachen Strom?

Die erhaltenen Ladungen aufgrund der globalen SU(2)-Eichsymmetrie sind:

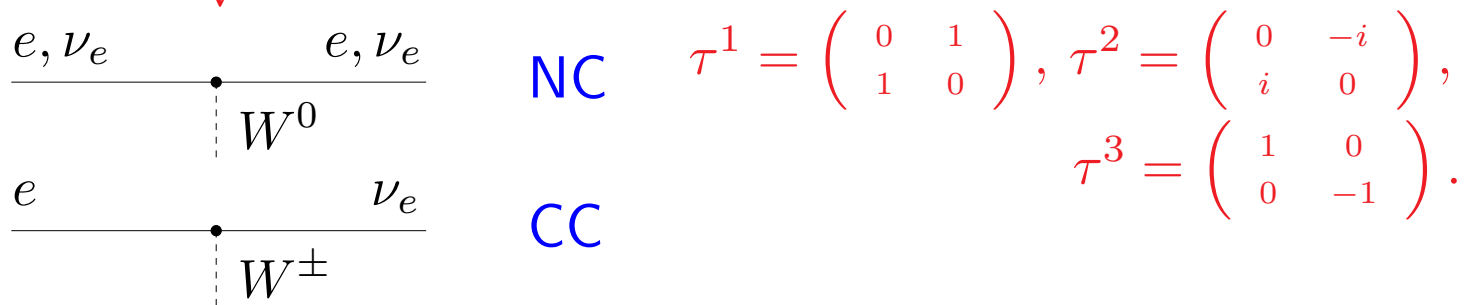
$$I^i = \int d^3x \bar{L} \gamma^0 \frac{\tau^i}{2} L; \quad \frac{dI^i}{dt} = 0$$

mit $[I^i, I^j] = i\epsilon^{ijk} I^k$.

Beispiel:

Die erste Lepton-Familie $L = \begin{pmatrix} \nu_e \\ e^- \end{pmatrix}_L$:

$$\begin{aligned}
 \cdot \quad \mathcal{L}_{WW}(SU(2)) &= -g\bar{L}\left(\gamma^\mu\frac{\tau^i}{2}W_\mu^i\right)L \\
 &= -\frac{g}{2}(\bar{\nu}_{eL}, \bar{e}_L)\gamma^\mu \begin{pmatrix} W_\mu^3 & W_\mu^1 - iW_\mu^2 \\ W_\mu^1 + iW_\mu^2 & -W_\mu^3 \end{pmatrix} \begin{pmatrix} \nu_{eL} \\ e_L \end{pmatrix} \\
 &= -\frac{g}{2}(\bar{\nu}_{eL}, \bar{e}_L)\gamma^\mu \begin{pmatrix} W_\mu^0 & \sqrt{2}W_\mu^- \\ \sqrt{2}W_\mu^+ & -W_\mu^0 \end{pmatrix} \begin{pmatrix} \nu_{eL} \\ e_L \end{pmatrix} \\
 &= -\frac{g}{2}[\bar{\nu}_e\gamma^\mu(1-\gamma_5)\nu_e W_\mu^0 - \bar{e}\gamma^\mu(1-\gamma_5)e W_\mu^0] \\
 \cdot \quad &-\frac{g}{\sqrt{2}}[\bar{\nu}_e\gamma^\mu(1-\gamma_5)e W_\mu^- + \bar{e}\gamma^\mu(1-\gamma_5)\nu_e W_\mu^+].
 \end{aligned}$$



$$\begin{aligned}
 \mathcal{L}_{WW}(U(1)) &= -g' \sum_f \left(\bar{\psi}_f \gamma^\mu \frac{Y_f}{2} \psi_f \right) B_\mu \\
 &= -\frac{g'}{2} Y_L [\bar{\nu}_{eL} \gamma^\mu \nu_{eL} + \bar{e}_L \gamma^\mu e_L] B_\mu \\
 \cdot \quad &-\frac{g'}{2} [Y_{\nu_R} \bar{\nu}_{eR} \gamma^\mu \nu_{eR} + Y_{e_R} \bar{e}_R \gamma^\mu e_R] B_\mu.
 \end{aligned}$$

$$\left. \begin{aligned} Y_L &= -1 \\ Y_{e_R} &= -2 \\ Y_{\nu_R} &= 0 \end{aligned} \right\} \text{ mit } Q = I_0 + \frac{1}{2}Y.$$

⇒ Neutrale Ströme:

$$\mathcal{L}_{NC} = -\frac{1}{2}(gW_\mu^0 + g'Y_L B_\mu)(\bar{\nu}_{eL}\gamma^\mu\nu_{eL}) - \frac{g'}{2}Y_{\nu R}B_\mu(\bar{\nu}_{eR}\gamma^\mu\nu_{eR}) \\ + \frac{1}{2}(gW_\mu^0 - g'Y_L B_\mu)(\bar{e}_L\gamma^\mu e_L) - \frac{g'}{2}Y_{eR}B_\mu(\bar{e}_R\gamma^\mu e_R).$$

Neutrale Ströme der ungeladenen Neutrinos können nur durch die schwache Wechselwirkung vermittelt werden.

Sie wurden 1973 am CERN entdeckt in der Reaktion: $\nu_\mu p \rightarrow \nu_\mu p$ (kein Myon im Endzustand).

Nach orthonormaler Transformation (Rotation) der neutralen Eichbosonfelder

$$\begin{pmatrix} B_\mu \\ W_\mu^0 \end{pmatrix} \longrightarrow \begin{pmatrix} A_\mu \\ Z_\mu^0 \end{pmatrix} = \begin{pmatrix} \cos\theta_W & \sin\theta_W \\ -\sin\theta_W & \cos\theta_W \end{pmatrix} \begin{pmatrix} B_\mu \\ W_\mu^0 \end{pmatrix}$$

mit dem sog. Weinberg-Winkel θ_W und

$$\cos\theta_W = \frac{g}{\sqrt{g^2 + g'^2 Y_L^2}}; \quad \sin\theta_W = \frac{g' Y_L}{\sqrt{g^2 + g'^2 Y_L^2}}$$

erhält man das Photonfeld

$$A_\mu = \frac{gB_\mu - g'Y_L W_\mu^0}{\sqrt{g^2 + g'^2 Y_L^2}}$$

und ein neues neutrales schwaches Eichbosonfeld (orthogonal zum el.magn. Feld):

$$Z_\mu^0 = \frac{gW_\mu^0 + g'Y_L B_\mu}{\sqrt{g^2 + g'^2 Y_L^2}}.$$

Sowohl das Z^0 -Boson als auch die W^\pm -Bosonen wurden 1983 am CERN in $p\bar{p}$ -Reaktionen direkt erzeugt und nachgewiesen (s.u.).

Die neutrale schwache Wechselwirkung, Kopplung neutraler schwacher Fermionströme an das Z^0 -Eichboson, wird durch die GSW-Theorie vorhergesagt (schon früher vermutet) und wurde 1973 in Neutrinostreuung an Protonen in einem Blasenkammerexperiment am CERN nachgewiesen (s.u.).

Durch Invertieren der Transformation,

$$B_\mu = \frac{gA_\mu + g'Y_L Z_\mu^0}{\sqrt{g^2 + g'^2 Y_L^2}},$$

$$W_\mu^0 = \frac{gZ_\mu^0 - g'Y_L A_\mu}{\sqrt{g^2 + g'^2 Y_L^2}},$$

und Einsetzen in \mathcal{L}_{NC} ergibt sich:

$$\begin{aligned} \cdot \mathcal{L}_{NC} = & \\ - \frac{\sqrt{g^2 + g'^2 Y_L^2}}{2} Z_\mu^0 (\bar{\nu}_{eL} \gamma^\mu \nu_{eL}) & \\ - \frac{gg'Y_L}{\sqrt{g^2 + g'^2 Y_L^2}} A_\mu (\bar{e}_L \gamma^\mu e_L) - \frac{gg'Y_R}{2\sqrt{g^2 + g'^2 Y_L^2}} A_\mu (\bar{e}_R \gamma^\mu e_R) & \\ - \frac{g'^2 Y_L^2 - g^2}{2\sqrt{g^2 + g'^2 Y_L^2}} Z_\mu^0 (\bar{e}_L \gamma^\mu e_L) - \frac{g'^2 Y_L Y_R}{2\sqrt{g^2 + g'^2 Y_L^2}} Z_\mu^0 (\bar{e}_R \gamma^\mu e_R) & \end{aligned}$$

\implies Neutrinos koppeln nicht an das elektromagnetische Feld A_μ .

Nur die linkshändigen Neutrinos wechselwirken durch die neutrale schwache Kraft über Z_μ^0 .

Rechtshändige Neutrinos haben keine Wechselwirkung, da auch ihre schwache Ladung $Y(\nu_R) = 0$.

Die elektromagnetische WW wird identifiziert durch die Festlegung:

$$Y_L = e \frac{\sqrt{g^2 + g'^2} Y_L^2}{gg'} = -1 \quad \text{und} \quad Y_R = 2Y_L.$$

Damit ist

$$\sqrt{g^2 + g'^2} = \frac{e}{\cos \theta_W \sin \theta_W}$$

$$e = \frac{-gg'}{\sqrt{g^2 + g'^2}} = g' \cos \theta_W = g \sin \theta_W$$

$$\frac{g'^2 - g^2}{2\sqrt{g^2 + g'^2}} = \frac{e}{\cos \theta_W \sin \theta_W} \left(-\frac{1}{2} + \sin^2 \theta_W \right)$$

$$-\frac{g'^2}{\sqrt{g^2 + g'^2}} = \frac{e}{\cos \theta_W \sin \theta_W} \left(-\sin^2 \theta_W \right)$$

und die neutrale Stromwechselwirkung erhält die Form:

$$\begin{aligned}
 \mathcal{L}_{NC} = & - \frac{g}{2 \cos \theta_W} (\bar{\nu}_{eL} \gamma^\mu \nu_{eL}) Z_\mu^0 \\
 & - \frac{e}{\cos \theta_W \sin \theta_W} \left[\left(-\frac{1}{2} + \sin^2 \theta_W \right) (\bar{e}_L \gamma^\mu e_L) \right. \\
 & + \left. (-\sin^2 \theta_W) (\bar{e}_R \gamma^\mu e_R) \right] Z_\mu^0 \\
 & - e \sum_f (Q_f \bar{\psi}_f \gamma^\mu \psi_f) A_\mu
 \end{aligned}$$

Allgemein gilt:

$$\begin{aligned}
 \mathcal{L}_{NC} = & - \frac{e}{\cos \theta_W \sin \theta_W} \cdot \\
 & \cdot \sum_{f_R, f_L} [(I_{fL,R}^3 - Q_{fL,R} \sin^2 \theta_W) (\bar{\psi}_{fL,R} \gamma^\mu \psi_{fL,R})] Z_\mu^0 \\
 & - e \sum_f (Q_f \bar{\psi}_f \gamma^\mu \psi_f) A_\mu.
 \end{aligned}$$

$$\frac{e}{\cos \theta_W \sin \theta_W} (I_f^3 - Q_f \sin^2 \theta_W)$$

ist die schwache neutrale Kopplung aller links- und rechtshändigen Fermionenzustände an das Z^0 -Boson.

1.3.4 Die Starke Wechselwirkung: Quantenchromodynamik (QCD)

SU(3)-Eichfeldtheorie der starken Wechselwirkung zwischen Quarks mit 8 Ladungen (Generatoren) λ^a ($a = 1, \dots, 8$):

$$[\lambda^a, \lambda^b] = 2if^{abc}\lambda^c$$

mit den Strukturkonstanten f_{abc} der SU(3)-Lie-Algebra.

Lokale Eichtransformation:

$$\Psi_q(x) \longrightarrow \Psi'_q(x) = U(x)\Psi_q(x) = e^{ig_s\frac{\lambda^a}{2}\gamma^a(x)}\Psi_q(x).$$

Lagrange-Funktion:

$$\mathcal{L}_{QCD} = -\frac{1}{4}F_{\mu\nu}^a F^{a\mu\nu} + \sum_q \bar{\Psi}_q(i\gamma^\mu D_\mu - m_q)\Psi_q$$

mit der kovarianten Ableitung (mit $D'_\mu\Psi' = U(D_\mu\Psi)$):

$$D_\mu = \partial_\mu + ig_s\frac{\lambda^a}{2}G_\mu^a,$$

den 8 masselosen Eichbosonfeldern $G_\mu^a(x)$ ($a = 1, \dots, 8$)

und den Feldtensoren (mit $\lambda^a F_{\mu\nu}^{a'} = U \lambda^a F_{\mu\nu}^a U^\dagger$):

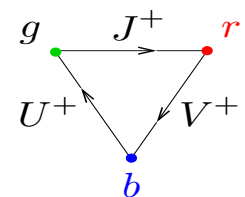
$$F_{\mu\nu}^a = \partial_\nu G_\mu^a - \partial_\mu G_\nu^a + g_s f^{abc} G_\mu^b G_\nu^c.$$

In der fundamentalen $SU(3)$ -Darstellung bilden die Quarkfelder Triplets mit einer neuen inneren Quantenzahl "Farbe" oder Colour (rot, grün, blau): $\Psi_q = \psi_q \cdot \chi_C$:

$$\chi_C = \begin{pmatrix} q_r \\ q_g \\ q_b \end{pmatrix}; \quad \chi_r = \begin{pmatrix} 1 \\ 0 \\ 0 \end{pmatrix}; \quad \chi_g = \begin{pmatrix} 0 \\ 1 \\ 0 \end{pmatrix}; \quad \chi_b = \begin{pmatrix} 0 \\ 0 \\ 1 \end{pmatrix}.$$

Die Antiquarks befinden sich in der konjugierten fundamentalen Darstellung und besitzen Antifarben (\bar{r} , \bar{g} , \bar{b}).

Einführung von Schiebeoperatoren in den $SU(3)_C$ Farb-Tripletts:



$$I_C^\pm = \frac{1}{2}(\lambda_1 \pm i\lambda_2); \quad (\text{Transformation } g \longleftrightarrow r),$$

$$V_C^\pm = \frac{1}{2}(\lambda_4 \mp i\lambda_5); \quad (\text{Transformation } r \longleftrightarrow b),$$

$$U_C^\pm = \frac{1}{2}(\lambda_6 \pm i\lambda_7); \quad (\text{Transformation } b \longleftrightarrow g).$$

Ihre Funktion in Analogie zu τ^\pm für $SU(2)$ ist offensichtlich mit der 3-dim. Darstellung der λ -Matrizen (Gell-Mann-Matrizen):

$$\lambda_1 = \begin{pmatrix} 0 & 1 & 0 \\ 1 & 0 & 0 \\ 0 & 0 & 0 \end{pmatrix}; \lambda_2 = \begin{pmatrix} 0 & -i & 0 \\ i & 0 & 0 \\ 0 & 0 & 0 \end{pmatrix} \quad (g \longleftrightarrow r)$$

$$\lambda_4 = \begin{pmatrix} 0 & 0 & 1 \\ 0 & 0 & 0 \\ 1 & 0 & 0 \end{pmatrix}; \lambda_5 = \begin{pmatrix} 0 & 0 & -i \\ 0 & 0 & 0 \\ i & 0 & 0 \end{pmatrix} \quad (r \longleftrightarrow b)$$

$$\lambda_6 = \begin{pmatrix} 0 & 0 & 0 \\ 0 & 0 & 1 \\ 0 & 1 & 0 \end{pmatrix}; \lambda_7 = \begin{pmatrix} 0 & 0 & 0 \\ 0 & 0 & -i \\ 0 & i & 0 \end{pmatrix} \quad (b \longleftrightarrow g)$$

$$\lambda_3 = \begin{matrix} & r & g & b \\ \begin{pmatrix} 1 & 0 & 0 \\ 0 & -1 & 0 \\ 0 & 0 & 0 \end{pmatrix} & \bar{r} \\ & \bar{g} \\ & \bar{b} \end{matrix} \quad (\text{koppelt } r\bar{r}, -g\bar{g})$$

$$\lambda_8 = \frac{1}{\sqrt{3}} \begin{matrix} & r & g & b \\ \begin{pmatrix} 1 & 0 & 0 \\ 0 & 1 & 0 \\ 0 & 0 & -2 \end{pmatrix} & \bar{r} \\ & \bar{g} \\ & \bar{b} \end{matrix} \quad (\text{koppelt } r\bar{r}, g\bar{g}, -2b\bar{b}).$$

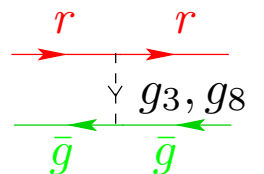
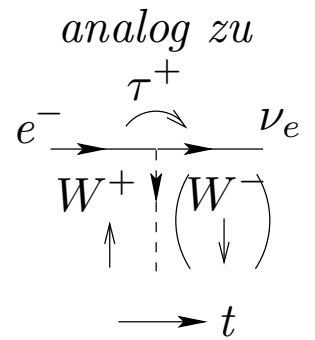
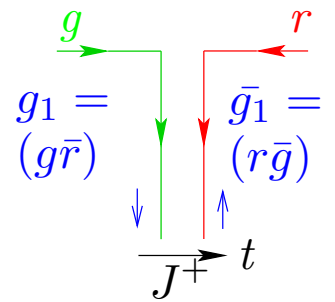
⇒ Wechselwirkungsterm der QCD-Lagrangedichte:

$$\begin{aligned}
 \mathcal{L}_{WW}(SU(3)_C) &= -g_s (\bar{\Psi} \gamma^\mu \frac{\lambda^a}{2} \Psi) G_\mu^a = j_c^{\mu,a} \cdot G_\mu^a \\
 &= -\frac{g_s}{\sqrt{2}} \left[\underbrace{\bar{\Psi} \gamma^\mu I_C^+ \Psi (g\bar{r})_\mu + \bar{\Psi} \gamma^\mu I_C^- \Psi (r\bar{g})_\mu}_{\substack{\uparrow \text{erhaltener} \\ \text{Farbstrom}}} \right. \\
 &\quad + \bar{\Psi} \gamma^\mu V_C^+ \Psi (r\bar{b})_\mu + \bar{\Psi} \gamma^\mu V_C^- \Psi (b\bar{r})_\mu \\
 &\quad + \bar{\Psi} \gamma^\mu U_C^+ \Psi (b\bar{g})_\mu + \bar{\Psi} \gamma^\mu U_C^- \Psi (g\bar{b})_\mu \\
 &\quad \left. + \frac{1}{\sqrt{2}} \bar{\Psi} \gamma^\mu \lambda^3 \Psi G_\mu^3 + \frac{1}{\sqrt{2}} \bar{\Psi} \gamma^\mu \lambda^8 \Psi G_\mu^8 \right]
 \end{aligned}$$

mit den 8 Gluonfeldern

Farbströme

$$\begin{aligned}
 \left(\begin{array}{l} g_{\mu 1} = (g\bar{r})_\mu = \frac{1}{\sqrt{2}}(G_\mu^1 - iG_\mu^2), \\ g_{\mu 2} = (r\bar{g})_\mu = \frac{1}{\sqrt{2}}(G_\mu^1 + iG_\mu^2) = \bar{g}_{\mu 1}, \end{array} \right. & \text{Anti-} \\
 & \text{gluon} \\
 \left(\begin{array}{l} g_{\mu 4} = (r\bar{b})_\mu = \frac{1}{\sqrt{2}}(G_\mu^4 + iG_\mu^5), \\ g_{\mu 5} = (b\bar{r})_\mu = \frac{1}{\sqrt{2}}(G_\mu^4 - iG_\mu^5) = \bar{g}_{\mu 4}, \end{array} \right. & \\
 \left(\begin{array}{l} g_{\mu 6} = (b\bar{g})_\mu = \frac{1}{\sqrt{2}}(G_\mu^6 - iG_\mu^7), \\ g_{\mu 7} = (g\bar{b})_\mu = \frac{1}{\sqrt{2}}(G_\mu^6 + iG_\mu^7) = \bar{g}_{\mu 6}, \end{array} \right. &
 \end{aligned}$$



$$\begin{aligned}
 \text{Gluon} & \left(\begin{array}{l} g_{\mu 3} = \frac{1}{\sqrt{2}}(r\bar{r} - g\bar{g}) = G_\mu^3 \quad (\text{farbneutral}), \\ g_{\mu 8} = \frac{1}{\sqrt{2}}(r\bar{r} + g\bar{g} - 2b\bar{b}) = G_\mu^8 \quad (\text{farbneutral}). \end{array} \right. \\
 \text{Anti-} & \\
 \text{gluon} &
 \end{aligned}$$

zu 8 erhaltenen Farbladungsoperatoren, die sich in der $N^2 - 1 = 8$ -dim. adjungierten Darstellung befinden:

$$3_C \otimes \bar{3}_C = 1_C + 8_C.$$

Gluonaustausch ändert die Farb-, nicht die Flavour-Quantenzahlen der Quarks.

Keine colour-Singulett-Gluonen in $SU(3)_C$ mit $\det U = 1$ (im Gegensatz zu $U(3)$):

würden an farbneutrale Zustände, Mesonen und Baryonen, koppeln und starke Kernkräfte mit langer Reichweite, wie elektromagnetische Felder, hervorrufen.

“Farbige” Teilchen (Quarks und Gluonen) sind in farbneutralen colour-Singulett-Zuständen (Mesonen $q\bar{q}$ und Baryonen qqq) gebunden und treten nicht als freie Zustände auf (Confinement-Hypothese).

Beispiel:

$$\pi^+ = \frac{1}{\sqrt{3}}(u_r \bar{d}_{\bar{r}} + u_g \bar{d}_{\bar{g}} + u_b \bar{d}_{\bar{b}}).$$

(Farbsingulettzustand 1_C aus der Darstellung

$$3_C \otimes \bar{3}_C = 1_C + 8_C).$$

Kernkräfte sind Van-der-Waalssche Restwechselwirkung zur Farbwechselwirkung der Quarks und Gluonen.

Motivation der Farbquantenzahl:

- Die neuen inneren Freiheitsgrade der $SU(3)_C$ -Farbsymmetrie erlauben die Konstruktion einer antisymmetrischen Wellenfunktion für das Baryon $\Delta^{++} = (u \uparrow u \uparrow u \uparrow)$ mit $J^P = \frac{3}{2}^+$ und $L = 0$:

$$\chi_C(\Delta^{++}) = \frac{1}{\sqrt{6}} \varepsilon_{ijk} u_i u_j u_k$$

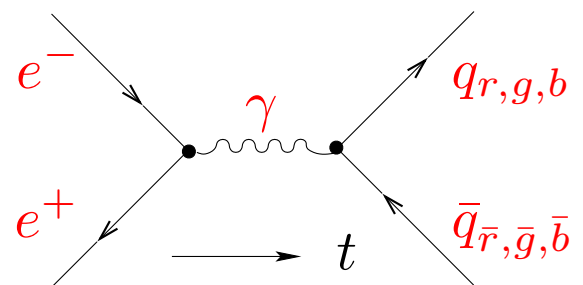
(Farbsingulettzustand 1_C aus der Darstellung

$$3_C \otimes 3_C \otimes 3_C = 1_C + 8_C + 8_C + 10_C).$$

- Hadronischer Wirkungsquerschnitt in der e^+e^- -Vernichtung:

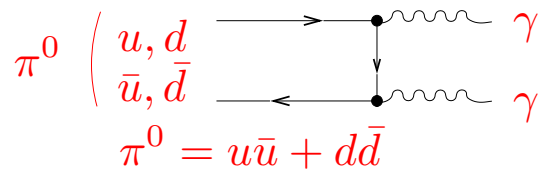
$$R = \sigma(e^+e^- \rightarrow \sum_{q(E_{CM} > 2m_q)} q\bar{q}) / \sigma(e^+e^- \rightarrow \mu^+\mu^-)$$

$$= N_C \cdot \sum_{q(E_{CM} > 2m_q)} Q_q^2$$



mit $N_C = 3 =$ Zahl der Farbfreiheitsgrade der Quarks im Gegensatz zu Leptonen.

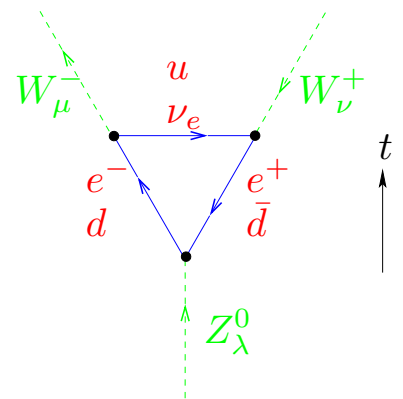
3. $\Gamma(\pi^0 \rightarrow \gamma\gamma) \sim N_C^2.$



4. Renormierbarkeit der GSW-Eichfeldtheorie der elektroschwachen Wechselwirkung:

Aufhebung divergenter Terme in höherer Ordnung der Störungstheorie, bei denen 2 Vektorströme und 1 Axialvektorstrom koppeln (sog. Dreiecks-Anomalien), zwischen Lepton- und Quark-Beiträgen, falls gilt:

$$\sum_f Q_f (L - \text{Dubletts}) = 0.$$



Dies ist möglich, wenn Lepton- und Quark-Dubletts der schwachen WW in jeder Familie gepaart sind, d.h. gleiche Anzahl, und die Quarks jeweils in 3 Farben auftreten:

$$\sum_f Q_f = \sum_\ell Q_\ell + N_C \cdot \sum_q Q_q = 3 \cdot \left(-1 + N_C \cdot \frac{1}{3}\right) = 0.$$

D.h. Verknüpfung zwischen Leptonen und Quarks und zwischen den Eichtheorien der elektroschwachen und der starken WW: $SU(2)_L$ und $SU(3)_C$!